

# Aula 10 – Texto de apoio

## Níveis de energia do poço quadrado

Prof. Luis Gregório Dias

### Introdução

Neste texto, vamos revisar como obtemos os níveis de energia do [poço quadrado finito](#) através da solução da Equação de Schrödinger.

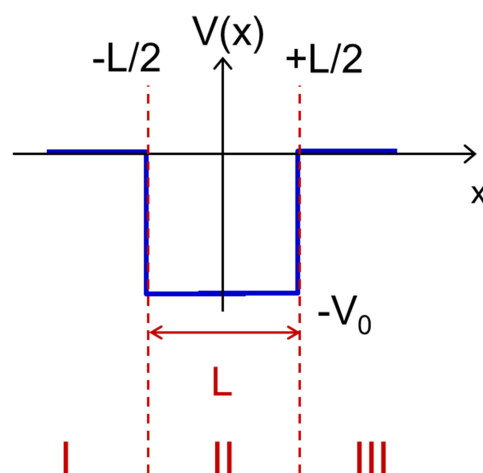
### Poço quadrado finito

O potencial do poço quadrado finito é dado por:

$$V(x) = \begin{cases} -V_0 & \text{se } -L/2 \leq x \leq +L/2 \\ 0 & \text{se } x < -L/2 \text{ ou } x > +L/2 \end{cases}$$

**Equação 1**

O potencial  $V(x)$  está representado na Figura 1 abaixo:



**Figura 1: Poço quadrado finito.**

Para calcular os **níveis de energia** do poço quadrado finito, é necessário resolver a equação de Schrödinger para o potencial  $V(x)$  dado pela Equação 1 acima e obter a equação transcendental cujas soluções serão as energias  $E_n$  dos níveis discretos.

Nas regiões **I** ( $x < -L/2$ ) e **III** ( $x > L/2$ ) o potencial é **nulo** (ou seja,  $V(x)=0$ ). Já na região **II** ( $-L/2 < x < L/2$ ), o potencial é negativo ( $V(x)=-V_0$ ), formando um poço de potencial. Com isso, podemos escrever a Equação de Schrödinger independente do tempo para as 3 regiões na forma:

$$\left\{ \begin{array}{l} -\frac{\hbar^2}{2m} \frac{d^2\Psi(x)}{dx^2} = E\Psi(x) \quad \text{Região I} \\ -\frac{\hbar^2}{2m} \frac{d^2\Psi(x)}{dx^2} - V_0\Psi(x) = E\Psi(x) \quad \text{Região II} \\ -\frac{\hbar^2}{2m} \frac{d^2\Psi(x)}{dx^2} = E\Psi(x) \quad \text{Região III} \end{array} \right.$$

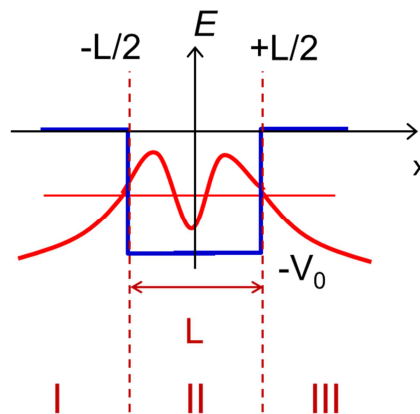
**Equação 2**

Para facilitar, podemos re-escrever as equações nas regiões II e IV para isolar a derivada segunda no lado esquerdo:

$$\left\{ \begin{array}{l} -\frac{\hbar^2}{2m} \frac{d^2\Psi(x)}{dx^2} = E\Psi(x) \quad \text{Região I} \\ -\frac{\hbar^2}{2m} \frac{d^2\Psi(x)}{dx^2} = (E + V_0)\Psi(x) \quad \text{Região II} \\ -\frac{\hbar^2}{2m} \frac{d^2\Psi(x)}{dx^2} = E\Psi(x) \quad \text{Região III} \end{array} \right.$$

**Equação 3**

Aqui, estamos procurando soluções para **estados ligados**, ou seja, com energias  $E$  entre 0 e  $-V_0$ , como mostrado na Figura abaixo:



**Figura 2: Energia dos estados ligados.**

Neste caso, fica claro que  $E+V_0$  no lado direito da equação da região II é um *número positivo* já que  $E<0$  é necessariamente *negativo* ( $E=-|E|$ ) mas seu módulo é menor que  $V_0$  ( $|E|<V_0$ ). Logo:

$$E + V_0 = V_0 - |E| > 0$$

Podemos então definir as quantidades *positivas*  $\alpha(E)$  e  $k(E)$  na forma:

$$\begin{cases} \alpha(E) &= \sqrt{2m|E|}/\hbar \\ k(E) &= \sqrt{2m(V_0 - |E|)}/\hbar \end{cases}$$

**Equação 4**

que serão funções positivas da energia (note que apenas o módulo de  $E$  entra na raiz). Com essas definições, as equações diferenciais nas regiões I, II e III ficam mais simples:

$$\begin{cases} \frac{d^2\Psi(x)}{dx^2} = +\alpha(E)^2\Psi(x) & \text{Região I} \\ \frac{d^2\Psi(x)}{dx^2} = -k(E)^2\Psi(x) & \text{Região II} \\ \frac{d^2\Psi(x)}{dx^2} = +\alpha(E)^2\Psi(x) & \text{Região III} \end{cases}$$

**Equação 5**

Neste formato, fica mais claro qual deve ser o formato das soluções em cada região. Nas regiões I e III procuramos soluções em que a *segunda derivada seja proporcional à própria função multiplicada por um número positivo*. Isto é satisfeito por uma *função exponencial* como  $\Psi(x) = Ae^{\alpha x}$  ou  $\Psi(x) = Be^{-\alpha x}$ .

Já na região II procuramos uma solução em que a *segunda derivada seja proporcional à própria função multiplicada por um número negativo*. Isto é satisfeito por uma *função seno ou cosseno* como  $\Psi(x) = a \cos kx$  ou  $\Psi(x) = b \sin kx$ .

Um ponto importante é que, nas regiões I e III, é necessário *descartar as soluções exponenciais que divergem (vão a infinito) para  $x \rightarrow \pm\infty$* . Estas soluções, embora matematicamente aceitáveis, não descrevem situações físicas. Isto por que o módulo quadrado da função de onda corresponde a uma distribuição de probabilidade (que pode ser medida em experimentos!) de modo que deve ter uma integral finita em todo o espaço.

Juntando tudo, temos a solução da Eq. de Schrödinger para o poço quadrado fica:

$$\left\{ \begin{array}{l} \Psi(x) = A_I e^{+\alpha x} \quad x < -L/2 \\ \Psi(x) = a_{II} \cos kx + b_{II} \operatorname{sen} kx \quad -L/2 \leq x \leq L/2 \\ \Psi(x) = B_{III} e^{-\alpha x} \quad x > L/2 \end{array} \right.$$

**Equação 6**

onde as constantes  $A_I$ ,  $a_{II}$ ,  $b_{II}$ ,  $B_{III}$  são reais e devem ser determinadas pelas **condições de contorno**, impondo a continuidade da função de onda e sua derivada nas interfaces entre as regiões.

### Simetria do potencial: soluções pares.

O potencial mostrado na Figura 1 é **simétrico** em relação à origem ( $x=0$ ) do sistema de coordenadas escolhido, ou seja,  $V(x)=V(-x)$ . Embora esta seja uma escolha arbitrária (poderíamos ter escolhido a origem  $x=0$  em outra posição do potencial, como na borda do poço), ela facilita bastante o cálculo das funções de onda,

Isto porque a simetria do potencial permite apenas dois tipos de soluções para a Equação de Schrödinger: soluções **pares**  $\Psi(-x) = +\Psi(x)$  e **ímpares**  $\Psi(-x) = -\Psi(x)$  em relação à troca  $x \leftrightarrow -x$ .

Vamos iniciar aqui no espectro das soluções **pares**. O caso de soluções ímpares é completamente análogo.

Impondo que a solução é par ou ímpar, reduzimos o número de constantes independentes mostrados na Equação 6. Isto por que, se  $\Psi(-x) = \pm\Psi(x)$ , a função na região II deve ser par/ímpar e os coeficientes das regiões I e III estão conectados. No caso de soluções **pares**, temos  $\Psi(-x) = +\Psi(x)$ , ou seja:

$$\left\{ \begin{array}{l} a_{II} \cos(-kx) + b_{II} \operatorname{sen}(-kx) = a_{II} \cos kx + b_{II} \operatorname{sen} kx \\ B_{III} e^{-\alpha(-x)} = A_I e^{+\alpha x} \end{array} \right. \Rightarrow \left\{ \begin{array}{l} b_{II} = 0 \\ B_{III} = A_I \end{array} \right.$$

**Equação 7**

Logo, as **soluções pares** são da forma:

$$\left\{ \begin{array}{l} \Psi_I(x) = A_I e^{+\alpha x} \text{ para } x < -L/2 \\ \Psi_{II}(x) = a_{II} \cos kx \text{ para } -L/2 \leq x \leq L/2 \\ \Psi_{III}(x) = A_I e^{-\alpha x} \text{ para } x > L/2 \end{array} \right.$$

**Equação 8: Soluções pares.**

Já no caso de soluções **ímpares**, temos  $\Psi(-x) = -\Psi(x)$ , ou seja:

$$\begin{cases} a_{II} \cos(-kx) + b_{II} \text{sen}(-kx) = -a_{II} \cos kx - b_{II} \text{sen} kx \\ B_{III} e^{-\alpha(-x)} = -A_I e^{+\alpha x} \end{cases} \Rightarrow \begin{cases} a_{II} = 0 \\ B_{III} = -A_I \end{cases}$$

**Equação 9**

Logo, as **soluções ímpares** são da forma:

$$\begin{cases} \Psi_I(x) = A_I e^{+\alpha x} \text{ para } x < -L/2 \\ \Psi_{II}(x) = b_{II} \text{sen} kx \text{ para } -L/2 \leq x \leq L/2 \\ \Psi_{III}(x) = -A_I e^{-\alpha x} \text{ para } x > L/2 \end{cases}$$

**Equação 10: Soluções ímpares.**

Em ambos os casos, temos apenas **duas constantes** a serem determinadas. Estas podem ser obtidas impondo a continuidade de  $\Psi(x)$  e  $\frac{d\Psi(x)}{dx}$  nos pontos  $x = \pm \frac{L}{2}$ . Como a solução é par ( $\Psi(-x) = +\Psi(x)$ ), basta escolher o lado positivo.

### Imposição da continuidade da função de onda e sua derivada

**Soluções pares:** Impondo a continuidade de  $\Psi(x)$  e  $\frac{d\Psi(x)}{dx}$  em  $x = +\frac{L}{2}$ , temos:

$$\Psi_{II}(L/2) = \Psi_{III}(L/2) \Rightarrow a_{II} \cos\left(\frac{kL}{2}\right) = A_I e^{-\frac{\alpha L}{2}}$$

**Equação 11**

$$\frac{d\Psi_{II}}{dx} = \frac{d\Psi_{III}}{dx} \Big|_{x=\frac{L}{2}} \Rightarrow -ka_{II} \text{sen}\left(\frac{kL}{2}\right) = -\alpha A_I e^{-\frac{\alpha L}{2}}$$

**Equação 12**

Dividindo a Equação 12 pela Equação 11, obtemos:

$$k(E) \tan\left(\frac{k(E)L}{2}\right) = \alpha(E)$$

**Equação 13: Eq transcendental das soluções pares.**

Esta é a **Equação Transcendental** para determinar o espectro de **soluções pares** do poço quadrado. Isto significa que as energias  $E$  dos níveis devem satisfazer os dois lados da Equação 13 (lembrando que  $\alpha(E)$  e  $k(E)$  são funções de  $E$ , dadas na Equação 4.

**Soluções ímpares:** Impondo a continuidade de  $\Psi(x)$  e  $\frac{d\Psi(x)}{dx}$  em  $x = +\frac{L}{2}$ , temos:

$$\Psi_{\text{II}}(L/2) = \Psi_{\text{III}}(L/2) \Rightarrow b_{\text{II}} \sin\left(\frac{kL}{2}\right) = -A_{\text{I}} e^{-\frac{\alpha L}{2}}$$

**Equação 14**

$$\left. \frac{d\Psi_{\text{II}}}{dx} = \frac{d\Psi_{\text{III}}}{dx} \right|_{x=\frac{L}{2}} \Rightarrow +kb_{\text{II}} \cos\left(\frac{kL}{2}\right) = +\alpha A_{\text{I}} e^{-\frac{\alpha L}{2}}$$

**Equação 15**

Dividindo a Equação 14 pela Equação 15, obtemos:

$$\alpha(E) \tan\left(\frac{k(E)L}{2}\right) = k(E)$$

**Equação 16**

Esta é a **Equação Transcendental** para determinar o espectro de **soluções ímpares** do poço quadrado. Isto significa que as energias  $E$  dos níveis correspondentes devem satisfazer os dois lados da Equação 16 (lembrando novamente que  $\alpha(E)$  e  $k(E)$  são funções de  $E$ , dadas na Equação 4.

### Solução das Eq. Transcendentais pelo método gráfico.

Um outro modo de escrever as Equações Transcendentais é na seguinte forma:

$$f_p(E) = k(E) \tan\left(\frac{k(E)L}{2}\right) - \alpha(E) = 0$$

$$f_i(E) = \alpha(E) \tan\left(\frac{k(E)L}{2}\right) - k(E) = 0$$

**Equação 17**

onde  $f_p(E)$  e  $f_i(E)$  correspondem às soluções pares e ímpares, respectivamente.

Aqui, procuramos as energias  $E$  que correspondem aos zeros das funções  $f_p(E)$  e  $f_i(E)$ . Este é um modo mais eficiente de determinar as soluções  $E_n$  que satisfazem a equações transcendentais.

Podemos encontrar as soluções pelo **método gráfico**: fazemos um gráfico de  $f_p(E)$  e  $f_i(E)$  (usando, por exemplo, softwares como *Mathematica*, uma planilha Excel, ou o site *Wolfram Alpha*) e procuramos os zeros. Isto é mostrado na Figura 3 abaixo.

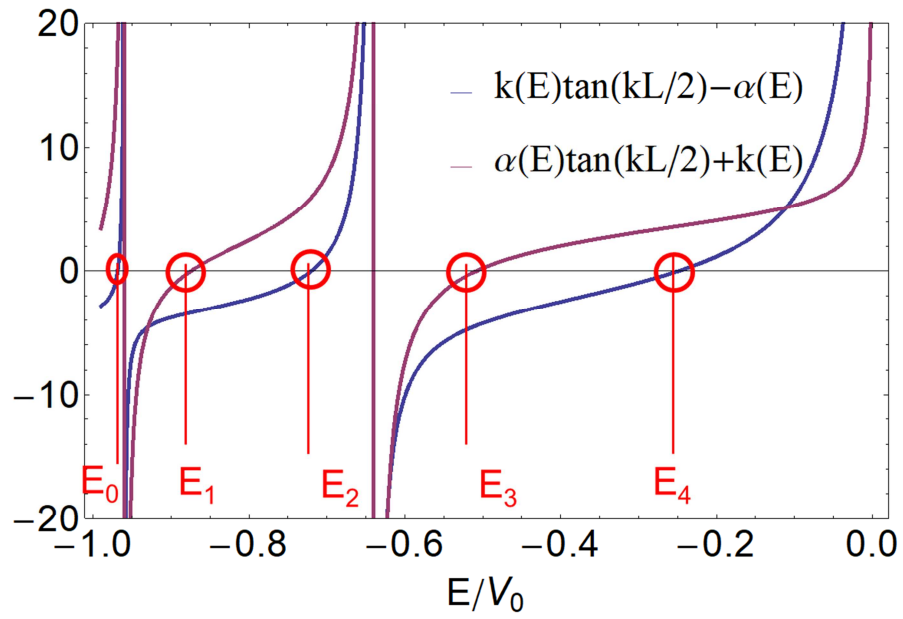


Figura 3: Resolvendo as Equações Transcendentais pelo método gráfico